

Московский государственный университет им. М. В. Ломоносова  
Механико-математический факультет.  
Кафедра волновой и газовой динамики.

**Курсовая работа:**

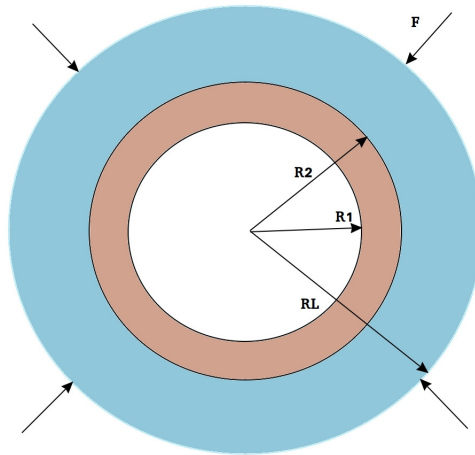
Схлопывание сферической вязкоупругопластической оболочки,  
окруженной слоем вязкой жидкости, под действием внешней  
динамической нагрузки.

студент 523 группы  
Галаничев А.С.  
Научный руководитель  
Киселев А.Б.

## Оглавление

1. Постановка задачи.
2. Система уравнений упруговязкопластической оболочки.
3. Численный метод.
4. Уравнение вязкой жидкости.
5. Граничные условия и устойчивость.
6. Сглаживание скоростей по Лаксу.
7. Результаты.
8. Выводы.
9. Используемая литература.

## Постановка задачи



В данной работе изучается процесс воздействия динамической нагрузки на сферическую вязкоупругопластическую оболочку, которая окружена слоем вязкой жидкости. При этом в материале возникают волновые явления, которые являются причиной деформации и, вследствие, схлопывания оболочки.

Данную работу можно рассматривать, как моделирование воздействия ударной волны, появляющейся, например, в результате взрыва на находящиеся в воде тела, имеющие вязкоупругопластическую природу и сферическую симметрию. Например, подводная лодка или батискаф. Так как в реальных процессах сферическая симметрия неустойчива, то в данной работе этой неустойчивостью пренебрегается.

## Система уравнений упруговязкопластической оболочки

Законы сохранения массы и изменения импульса:

$$\frac{\dot{\rho}}{\rho} = -\dot{\varepsilon}_r - 2\dot{\varepsilon}_\theta$$

$$\rho\dot{v} = \frac{\partial\sigma_r}{\partial r} + 2\frac{\sigma_r - \sigma_\theta}{r}$$

$r$  - расстояние до центра оболочки,  $v$  - радиальная скорость,  $\rho$  - плотность,  $\sigma_r$  и  $\sigma_\theta = \sigma_\phi$  - компоненты тензора напряжений, разлагаемого на шаровую  $\sigma = (\sigma_r + 2\sigma_\theta)/3$  и девиаторные части.  $\dot{\varepsilon}_r = \frac{\partial v}{\partial r}$ ,  $\dot{\varepsilon}_\theta = \frac{v}{r}$  - скорости деформации, которые представляются в виде суммы упругих и неупругих скоростей деформации:  $\dot{\varepsilon}_r = \dot{\varepsilon}_r^e + \dot{\varepsilon}_r^p$ ,  $\dot{\varepsilon}_\theta = \dot{\varepsilon}_\theta^e + \dot{\varepsilon}_\theta^p$ . Кроме того  $\dot{\varepsilon}_r^p + 2\dot{\varepsilon}_\theta^p = 0$ , т.е. пластическое течение несжимаемо, и  $S_r + 2S_\theta = 0$ .

Система определяющих уравнений модели:

$$\sigma = K(\varepsilon_r + 2\varepsilon_\theta)$$

$$\dot{\varepsilon}_r^e = \frac{\varepsilon_r + 2\varepsilon_\theta}{3} + \frac{\dot{S}_r}{2\mu}$$

$$\dot{\varepsilon}_\theta^e = \frac{\varepsilon_r + 2\varepsilon_\theta}{3} + \frac{\dot{S}_\theta}{2\mu}$$

$$\dot{\varepsilon}_r^p = \frac{S_r}{2\eta} \left( 1 - \frac{Y}{|S_r - S_\theta|} \right) H(|S_r - S_\theta| - Y)$$

$$\dot{\varepsilon}_\theta^p = \frac{S_\theta}{2\eta} \left( 1 - \frac{Y}{|S_r - S_\theta|} \right) H(|S_r - S_\theta| - Y)$$

Где  $K$  - объемный модуль,  $\mu$  - модуль сдвига,  $\eta$  - динамическая вязкость,  $Y$  - предел текучести.

## Численный метод

Аппроксимируем данную систему уравнений. В качестве разностной схемы возьмем модель Уилкинсона со смещенной лагранжевой сеткой, в которой  $v$  будут считаться в разных ячейках с  $\rho$ ,  $\sigma_r$ ,  $\sigma$ ,  $S_r$ .

$$\begin{aligned}\frac{v_k^{n+1/2} - v_k^{n-1/2}}{\tau} &= \frac{(\sigma_r)_{k+1/2}^n - (\sigma_r)_{k-1/2}^n}{\alpha_k^n} + 2\beta_k^n \\ \alpha_k^n &= \frac{1}{2} \left[ \rho_{k+1/2}^n (r_{k+1}^n - r_k^n) + \rho_{k-1/2}^n (r_k^n - r_{k-1}^n) \right] \\ \beta_k^n &= \frac{(\sigma_r)_{k+1/2}^n - (\sigma_\theta)_{k+1/2}^n}{\rho_{k+1/2}^n (r_{k+1}^n + r_k^n)} + \frac{(\sigma_r)_{k-1/2}^n - (\sigma_\theta)_{k-1/2}^n}{\rho_{k-1/2}^n (r_k^n + r_{k-1}^n)} \\ \frac{r_k^{n+1} - r_k^n}{\tau} &= v_n^{n+1/2}\end{aligned}$$

$$\begin{aligned}(\dot{\varepsilon}_r)_{k+1/2}^{n+1/2} &= \frac{v_{k+1}^{n+1/2} - v_k^{n+1/2}}{r_{k+1}^{n+1/2} - r_k^{n+1/2}} & (\dot{\varepsilon}_\theta)_{k+1/2}^{n+1/2} &= \frac{v_{k+1}^{n+1/2} + v_k^{n+1/2}}{r_{k+1}^{n+1/2} + r_k^{n+1/2}} \\ \frac{\rho_{k+1/2}^{n+1} - \rho_{k+1/2}^n}{\tau} &= \frac{\rho_{k+1/2}^{n+1} + \rho_{k+1/2}^n}{2} (\dot{\varepsilon}_r + 2\dot{\varepsilon}_\theta)\end{aligned}$$

Для того, чтобы получить уравнение для девиаторов, используем, что  $\dot{\varepsilon}_r = \dot{\varepsilon}_r^e + \dot{\varepsilon}_r^p$ , а также  $S_r - S_\theta = \frac{3}{2}S_r$ . Подставим в это равенство известные соотношения для скоростей деформации.

В итоге, выразив  $\dot{S}_r$ , получим:

$$\dot{S}_r = \frac{4\mu}{3}(\dot{\varepsilon}_r - \dot{\varepsilon}_\theta) - \frac{\mu}{\eta}S_r \left(1 - \frac{2Y}{3|S_r|}\right) H(3|S_r| - 2Y)$$

## Численный метод

Следующее значение девиатора получается в 2 шага:  
Первый шаг:

$$\frac{(S_r)_{k+1/2}^{n+1} - (S_r)_{k+1/2}^n}{\tau} = \frac{4\mu}{3}(\dot{\varepsilon}_r - \dot{\varepsilon}_\theta)$$

Второй шаг:

$$(S_r)_{k+1/2}^{n+1/2} = \frac{(S_r)_{k+1/2}^{n+1} + (S_r)_{k+1/2}^n}{2}$$

если  $3|(S_r)_{k+1/2}^{n+1/2}| - 2Y > 0$ , то делаем поправку:

$$(S_r)_{k+1/2}^{n+1} := (S_r)_{k+1/2}^{n+1/2} - \frac{\mu}{\eta}(S_r)_{k+1/2}^{n+1/2} \left( 1 - \frac{2Y}{3(S_r)_{k+1/2}^{n+1/2}} \right)$$

Затем вычисляем остальные неизвестные:

$$(S_\theta)_{k+1/2}^{n+1} = -\frac{(S_r)_{k+1/2}^{n+1}}{2} \quad \sigma_{k+1/2}^{n+1} = -K \cdot \ln \left( \frac{\rho_{k+1/2}^{n+1}}{\rho_0} \right)$$

$$(\sigma_r)_{k+1/2}^{n+1} = \sigma_{k+1/2}^{n+1} + (S_r)_{k+1/2}^{n+1} \quad (\sigma_\theta)_{k+1/2}^{n+1} = \sigma_{k+1/2}^{n+1} + (S_\theta)_{k+1/2}^{n+1}$$

## Уравнения вязкой жидкости

Уравнения модели вязкой жидкости Навье-Стокса в предположении несжимаемости и одномерном сферическом приближении:

$$\sigma_r = -p + 2\mu e_r$$

$$\sigma_\theta = -p + 2\mu e_\theta$$

Где  $\sigma_r$  и  $\sigma_\theta$  радиальное и кольцевое напряжения в жидкости.  
 $p = -\frac{\sigma_r + 2\sigma_\theta}{3}$  - давление.  $e_r = \frac{\partial v}{\partial r}$ ,  $e_\theta = \frac{v}{r}$  - радиальная и кольцевая скорости деформации.  $\mu$ -динамическая вязкость.

Уравнение движения :

$$\rho \dot{v} = \frac{\partial \sigma_r}{\partial r} + 2 \frac{\sigma_r - \sigma_\theta}{r} \quad \rho - \text{плотность}$$

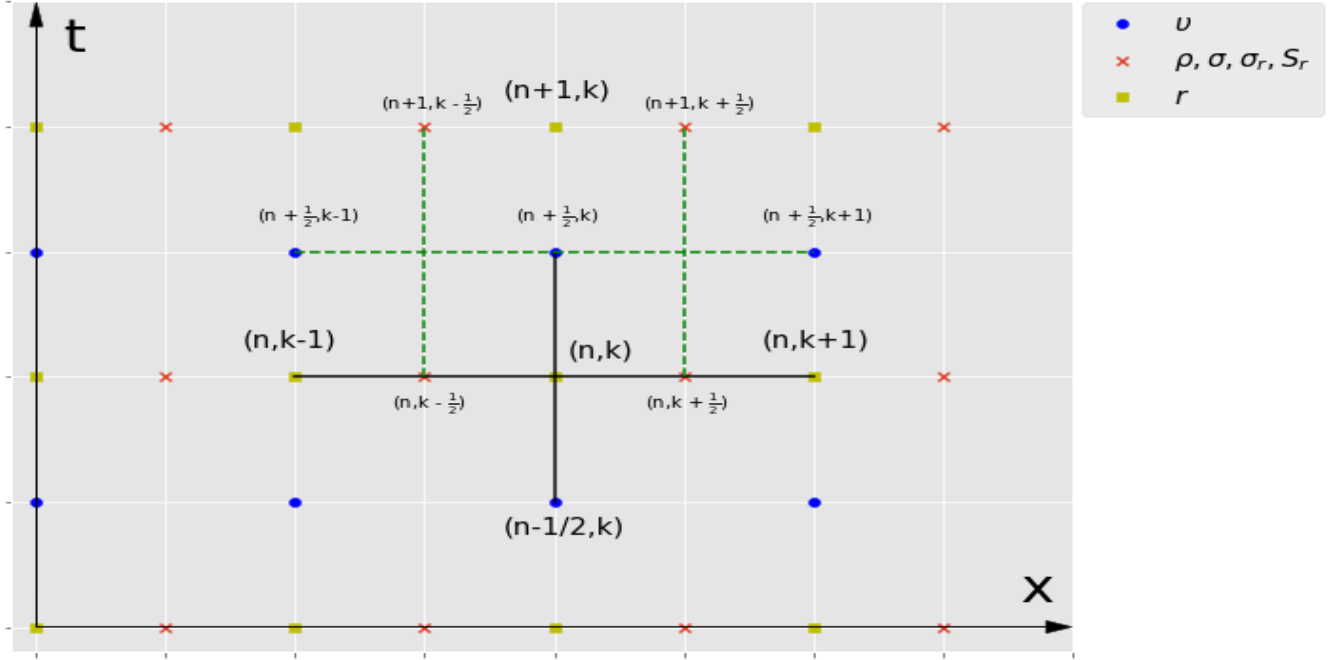
Конечно разностная система для вязкой жидкости :

$$\rho_k^n \frac{v_k^{n+1} - v_k^n}{\tau} = \frac{(\sigma_r)_{k+1}^n - (\sigma_r)_{k-1}^n}{2h} + 2 \frac{(\sigma_r)_k^n - (\sigma_\theta)_k^n}{r_2 + kh}$$

$$(\sigma_r)_k^{n+1} = -p + 2\mu \frac{v_{k+1}^{n+1} - v_{k-1}^{n+1}}{2h}$$

$$(\sigma_\theta)_k^{n+1} = -p + 2\mu \frac{v_k^{n+1}}{r_2 + kh}$$

## Граничные условия и устойчивость



На внутренней поверхности оболочки :  $\sigma_r|_{r=r_0} = 0$   $\frac{\partial v}{\partial r}|_{r=r_0} = 0$   
 На внешней поверхности жидкости :  $\sigma_r^l|_{r=r_l} = P(t)$   $\frac{\partial v^l}{\partial r}|_{r=r_l} = 0$   
 На поверхности контакта жидкости и оболочки :

$$v|_{r_2} = v^l|_{r_2} \quad \sigma_r|_{r=r_2} = \sigma_r^l|_{r=r_2}$$

$$\text{Условие Куранта:} \quad \frac{a_0 \tau}{h} < C$$

Константы :

$$\begin{aligned} \rho_0 &= 4530 \text{ кг/м}^3; K = 123,4 \text{ ГПа}; \mu = 43,4 \text{ ГПа}; Y = 0,71 \text{ ГПа}; \\ \eta &= 700 \text{ Па} \cdot \text{с}; r_1 = 2 \cdot 10^{-2} \text{ м}; r_2 = 3 \cdot 10^{-2} \text{ м}; r_l = 4,5 \cdot 10^{-2} \text{ м}; \\ a_0 &= \sqrt{(K + 4\mu/3)/\rho_0}; P(t) = p_0 H(t_0 - t); p_0 = 14,3 \text{ ГПа} \end{aligned}$$



## Сглаживание скоростей по Лаксу

Вместо конечно — разностной аппроксимации уравнения движения

$$v_k^{n+1/2} = v_k^{n-1/2} + \tau(\dots)$$

Ищется следующая аппроксимация:

$$v_k^{n+1/2} = \tilde{v}_k^{n-1/2} \gamma_k^{n-1/2} + v_k^{n-1/2} (1 - \gamma_k^{n-1/2}) + \tau(\dots)$$

,

$$\text{где } \tilde{v}_k^{n-1/2} = \frac{v_{k+1}^{n-1/2} + v_{k-1}^{n-1/2}}{2}$$

Параметр  $\gamma$  вычисляется следующим образом :

$$\gamma_k^{n-1/2} = \min(1, \gamma_0 + \chi |\tilde{v}_k^{n-1/2} - v_k^{n-1/2}|)$$

$$\gamma_0 = \frac{V_0}{a_0} \quad \chi = \frac{1}{V_0} \quad V_0 = \frac{P_0}{a\rho_0} \quad V_0 - \text{скорость удара, } P_0 - \text{внешнее давление.}$$

Разность  $\tilde{v}_k^{n-1/2} - v_k^{n-1/2}$  даёт оценку 2-ой производной в окрестности узла  $k$ .

Параметр  $\gamma$  включает Лаксову вязкость в окрестности ударных волн и увеличивает её (но не больше 1) с ростом скорости удара.

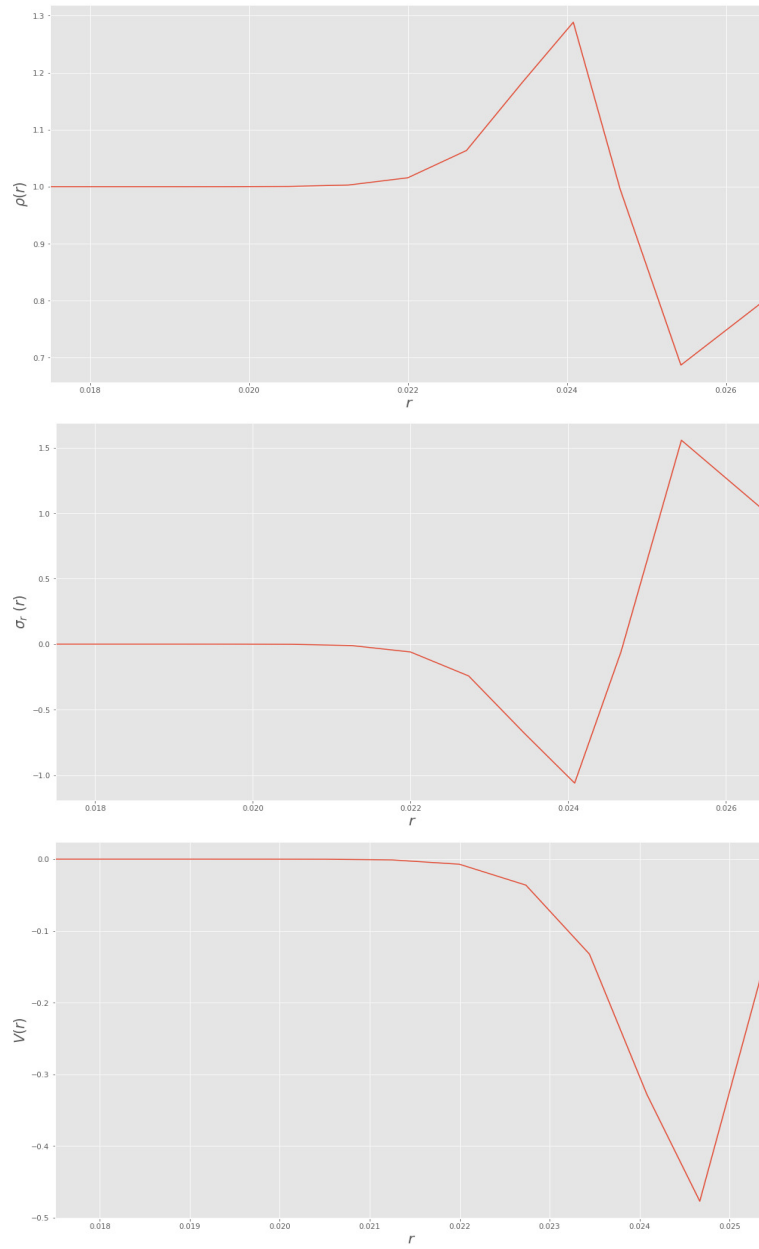
Переход к безразмерным переменным :

$$r = \bar{r}(r_2 - r_1) \quad t = \bar{t} \frac{r_2 - r_1}{a_0} \quad \rho = \bar{\rho} \rho_0 \quad v = \bar{v} a_0$$

$$\sigma = \bar{\sigma} K \quad \sigma_r = \bar{\sigma}_r K \quad S_r = \bar{S}_r K$$

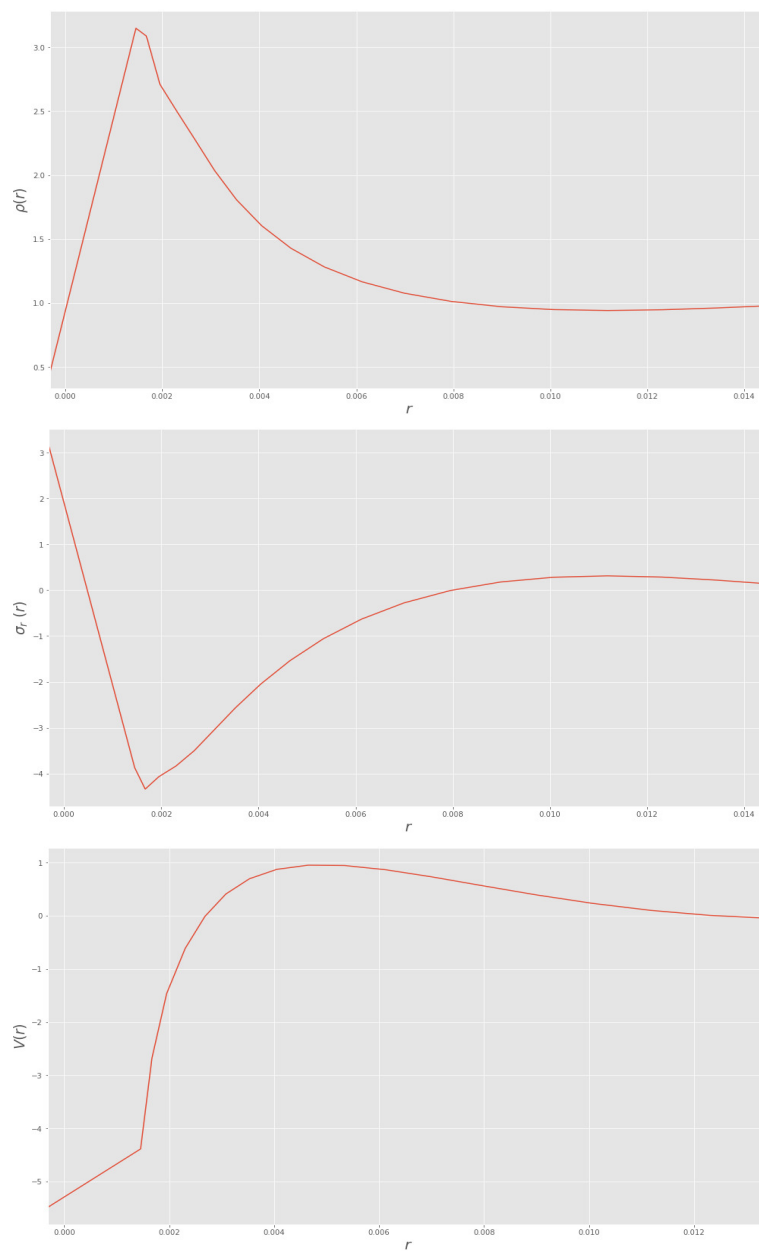
## Результаты

Графики распределений  $\rho$ ,  $S_r$ ,  $v$  в момент  $t = 1.58$  мкс



## Результаты

Графики распределений  $\rho$ ,  $S_r$ ,  $v$  в момент  $t = 3$  мкс (момент схлопывания)



## Выводы

В данной работе было рассмотрено поведение сферической вязкоупругопластической оболочки, окруженной слоем вязкой жидкости, под действием внешней динамической нагрузки.

Получены графики распределений скорости и радиальных компонент тензоров напряжений и девиаторов.

Найдено время схлопывания.

## Используемая литература

1. Киселев А.Б. Математическое моделирование динамического деформирования и комбинированного микроразрушения термоупруговязкопластической среды. Вестник Москва ун-та. сер.1, математика. механика. 1998 №6
2. Киселев А.Б. Аналитические решения динамических задач расширения(сжатия) толстостенных сферических и цилиндрических вязкопластических оболочек, погруженных в вязкую жидкость. Прикладная физика и математика 2. 2016
3. Уилкинс М.Л. Расчет упруго-пластических течений. Вычислительные методы в гидродинамике 1964.
4. Киселев А.Б. Нехаева О.В. Численное моделирование динамического деформирования и разрушения толстостенной сферической оболочки. Вестник Москва ун-та. сер.1, математика. механика. 2004 №5
5. Киселев А.Б. Рыбакин Б.П. Численное исследование откольного разрушения при взрывном и ударном нагружении. Препринт. 21.12.1989